

П.Н. Бибило

Нахождение теста для режима максимального энергопотребления комбинационной схемы

Предложены формализация задачи и алгоритм нахождения тестовых векторов, обеспечивающих режим максимального энергопотребления комбинационной логической схемы, синтезированной в базе проектирования заказной КМОП СБИС.

A formalization of the problem and an algorithm of finding the test vectors that allow to find the mode of the maximal power consumption in a combinational logic circuit synthesized in the custom CMOS VLSI design basis are suggested.

Запропоновано формалізацію задачі та алгоритм знаходження тестових векторів, які забезпечують режим максимального енергоспоживання комбінаційної логічної схеми, синтезованої у базі проектування заказної КМОП НВІС.

Введение. Оценка энергопотребления – важная задача на стадии синтеза проекта цифровой сверхбольшой интегральной схемы (СБИС). В работах [1, 2] показано, что основная доля энергопотребления КМОП-схем приходится на переключения транзисторов. Для комбинационных логических блоков, входящих в состав заказной СБИС и представляющих собой логические схемы из КМОП-элементов библиотеки проектирования СБИС, в данной статье предложено оценивать энергопотребление проекта логической схемы на основе подсчета числа переключений транзисторов, из которых состоят логические элементы схемы. Каждому такту функционирования логической схемы соответствует упорядоченная пара *<предыдущий набор i, текущий набор j>* входных сигналов, а каждой такой упорядоченной паре соответствует число S_{ij} переключающихся транзисторов в схеме. Поскольку подсчет числа переключений транзисторов может быть выполнен достаточно быстро с помощью логического моделирования, оперирующего с VHDL-моделями [3, 4] логических элементов и схемы в целом, то для каждого такта моделирования можно получить соответствующее число переключений транзисторов. Для схем с ограниченным числом $n \leq 15$ входов можно провести логическое моделирование на всех упорядоченных парах входных наборов и выбрать *последовательность из k наборов* (тест T), характеризующихся наибольшим числом переключений транзисторов, и, следовательно, наибольшим энергопотреблением. Заметим, что число всех пар входных наборов для комбинационной схемы,

имеющей n входов, равно $2^n(2^n - 1)$. Найдя тест T , можно использовать его для трудоемкого схемотехнического моделирования, которое и позволяет сделать более точную оценку энергопотребления.

В данной статье предложен способ составления VHDL-моделей логических элементов (и схемы в целом) для подсчета числа переключений транзисторов логической схемы. Предлагается также формализация задачи формирования теста T , состоящего из заданного числа k входных наборов и обеспечивающего режим максимального потребления тока схемой. Искомый тест T строится путем анализа всех пар входных наборов и соответствующих им чисел переключений транзисторов в предположении, что максимальному числу переключений (в заданном такте) соответствует максимальное потребление тока. Если же паре входных наборов поставлено в соответствие значение потребляемого тока, то найденный тест обеспечит не приближенное, а реальное (с точки зрения схемотехнического моделирования) потребление тока. Величина значения потребляемого тока определяет минимальную ширину проводников в сетях питания и заземления СБИС, «правильная» ширина таких проводников важна для предотвращения эффектов электромиграции, приводящих к разрыву проводников и сбоям функционирования СБИС [2, с. 558].

Подсчет числа переключений транзисторов

Рассмотрим логическую схему *circ* (рис. 1), на примере которой будем подсчитывать число переключений транзисторов. В схеме использу-

ются элементы следующих типов: *A2*, *A3* – двухвходовой и трехвходовой элемент И соответственно; *O2* – двухвходовой элемент ИЛИ; *N* – инвертор; *XOR2* – «сумма по модулю 2». Суть предлагаемого подхода для подсчета числа переключающихся транзисторов заключается в преобразовании *VHDL*-моделей элементов и преобразовании схемы (см. рис. 1) в схему, изображенную на рис. 2. При составлении *VHDL*-моделей логических элементов полагается, что все элементы имеют одинаковую задержку, в данном примере выбранную равной 1 *нс*. Каждый элемент схемы (см. рис. 2), дополняется средством (*VHDL*-процессом) для подсчета числа переключившихся транзисторов в этом элементе. Для этого *VHDL*-модель элемента снабжается дополнительным выходом *z*, значение которого задает число переключившихся транзисторов в данном сеансе моделирования. При этом учитывается схемотехника (иерархия на уровне *VHDL*-описаний) элементов, например, элемент *A2* представляет собой каскадное соединение логического элемента *NA*, реализующего функцию И–НЕ, и инвертора *N*. Пример модели иерархически описанного элемента *A2* и базового элемента *NA* приведен в лист. 1.

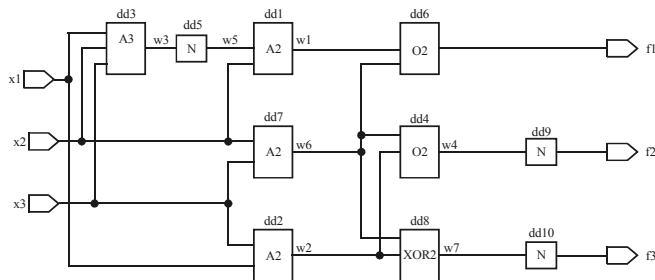


Рис. 1. Логическая схема *circ*

Листинг 1. *VHDL*-модели логических элементов *A2*, *NA*

```
library IEEE;
use IEEE.STD_LOGIC_1164.all;
entity A2 is
port (A:IN std_logic;
      B:IN std_logic;
      Y:OUT std_logic;
      Z : out integer);
end;
architecture str of A2 is
component NA
```

```
port (A:IN std_logic;
      B:IN std_logic;
      Y:OUT std_logic;
      Z : out integer);
end component;
component N
port (A:IN std_logic;
      Y:OUT std_logic;
      Z : out integer);
end component;
signal W : std_logic;
signal k1,k2 : integer;
type MAS1 is array (1 to 2) of integer;
signal V : MAS1;
function sum(DATA: in MAS1) return integer is
variable S : integer:= 0;
begin
for I in DATA'range loop
S:= DATA(I) + S;
end loop;
return S;
end sum;
begin
p0: NA port map (A,B,W,k1);
p1: N port map (W,Y,k2);
V <= (k1,k2);
p2 : process (V)
begin
Z <= sum(V);
end process;
end;
```

```
library IEEE;
use IEEE.STD_LOGIC_1164.all;
use IEEE.NUMERIC_STD.all;
entity NA is
port (A:IN std_logic;
      B:IN std_logic;
      Y:OUT std_logic;
      Z : out integer);
end;
architecture BEHAVIOR of NA is
begin
```

```
Y <= not (A and B) after 1ns;
p1: process (A, B)
variable z1 : integer :=0;
begin
if ((A xor A'delayed (1 ns)) = '1')
then Z1:= Z1+2;
end if;
if ((B xor B'delayed (1 ns)) = '1')
then Z1:= Z1+2;
end if;
Z <= z1;
end process;
end;
```

В VHDL-модели элемента *NA* полагается, что изменение значения (0 на 1, 1 на 0) входного сигнала влечет переключение двух транзисторов, а с помощью атрибута *A'delayed* (1 ns) вычисляется значение, которое имел сигнал *A* одну наносекунду назад относительно текущего времени моделирования. Заметим, что подсчет числа переключений осуществляется с помощью функции *sum*, написанной для логического элемента с многими входами, для двухвходовых элементов можно обойтись более простыми средствами.

VHDL-модель схемы в целом дополняется процессом (см. рис. 2), осуществляющим суммирование переключений транзисторов по всем элементам схемы. Такое суммирование выполняет функция *sum_percl*, по сути та же функция *sum*. Пример описания схемы *circ* для подсчета переключений триггеров приведен в лист. 2. Жирным шрифтом выделены операторы, ответственные за подсчет переключений триггеров. В этом же листинге приводится пакет *percl*, содержащий декларации компонент и функцию *sum_percl*.

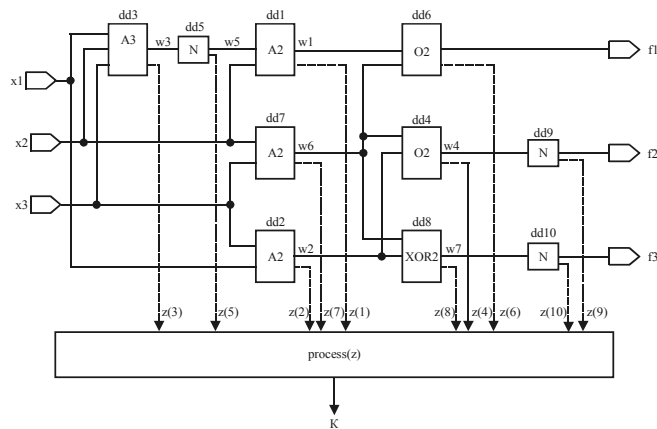


Рис. 2. Преобразованная логическая схема *circ*

Л и с т и н г 2. VHDL-описание схемы *circ* для подсчета числа переключений транзисторов

```
library ieee;
use ieee.std_logic_1164.all;
use work.percl.all;

entity circ is
port(x1, x2, x3 : in std_logic;
      F1, F2, F3 : out std_logic;
```

```
      K : out integer);
end;

architecture circ_arch of circ is
signal W : std_logic_vector (1 to 8);
signal Z : MAS;

begin
dd1 : A2 port map (w(5),x2,w(1), Z(1));
dd2 : A2 port map (x3,x1,w(2), Z(2));
dd3 : A3 port map (x1,x3,x2,w(3), Z(3));
dd4 : O2 port map (w(7),w(2),w(4), Z(4));
dd5 : N port map (w(3), w(5), Z(5));
dd6 : O2 port map (w(1),w(7),F1, Z(6));
dd7 : A2 port map (x2,x3,w(7), Z(7));
dd8 : XOR2 port map (w(7),w(2),w(8),
Z(8));
dd9 : N port map (w(4), F2, Z(9));
dd10 : N port map (w(8), F3, Z(10));
p1 : process (Z)
begin
K <= sum_percl(z);
end process;
end;
```

```
library IEEE;
use IEEE.STD_LOGIC_1164.all;
use IEEE.NUMERIC_STD.all;

package percl is
constant S : integer := 10;
type MAS is array (1 to S) of integer;
component A2 is
port (A:IN std_logic;
      B:IN std_logic;
      Y:OUT std_logic;
      Z : out integer);
end component;
.....
-- декларации компонент A3, O2, N, XOR2

function sum_percl (DATA: in MAS)
return integer;
```

```
package body percl is
function sum_percl (DATA: in MAS)
return integer is

variable S : integer:= 0;
begin
for I in DATA'range loop
S:= DATA(I) + S;
end loop;
return S;
end sum_percl;
end percl ;
```

Результат логического моделирования схемы на упорядоченной последовательности 57 на-

боров входных сигналов представлен в таблице, где заданы числа S_{ij} переключающихся транзисторов для каждой пары $\langle i, j \rangle$ сменяемых наборов значений входных сигналов.

| Номер пары | Входные наборы | Вес S_{ij} | Номер пары | Входные наборы | Вес S_{ij} | Номер пары | Входные наборы | Вес S_{ij} |
|------------|----------------|--------------|------------|----------------|--------------|------------|----------------|--------------|
| | 7 | | | 1 | | | 3 | |
| 1 | | 26 | 21 | | 22 | 41 | | 30 |
| | 5 | | | 6 | | | 1 | |
| 2 | | 34 | 22 | | 16 | 42 | | 30 |
| | 7 | | | 0 | | | 3 | |
| 3 | | 58 | 23 | | 16 | 43 | | 36 |
| | 4 | | | 6 | | | 0 | |
| 4 | | 50 | 24 | | 36 | 44 | | 36 |
| | 7 | | | 5 | | | 3 | |
| 5 | | 34 | 25 | | 32 | 45 | | 24 |
| | 3 | | | 3 | | | 2 | |
| 6 | | 26 | 26 | | 32 | 46 | | 12 |
| | 7 | | | 5 | | | 0 | |
| 7 | | 62 | 27 | | 40 | 47 | | 12 |
| | 2 | | | 2 | | | 2 | |
| 8 | | 42 | 28 | | 40 | 48 | | 18 |
| | 7 | | | 5 | | | 1 | |
| 9 | | 56 | 29 | | 22 | 49 | | 6 |
| | 1 | | | 1 | | | 0 | |
| 10 | | 48 | 30 | | 22 | 50 | | 6 |
| | 7 | | | 5 | | | 1 | |
| 11 | | 62 | 31 | | 28 | 51 | | 18 |
| | 0 | | | 0 | | | 2 | |
| 12 | | 54 | 32 | | 28 | 52 | | 24 |
| | 7 | | | 5 | | | 3 | |
| 13 | | 58 | 33 | | 24 | 53 | | 40 |
| | 6 | | | 4 | | | 4 | |
| 14 | | 12 | 34 | | 16 | 54 | | 24 |
| | 4 | | | 2 | | | 5 | |
| 15 | | 12 | 35 | | 16 | 55 | | 36 |
| | 6 | | | 4 | | | 6 | |
| 16 | | 28 | 36 | | 10 | 56 | | 38 |
| | 3 | | | 1 | | | 7 | |
| 17 | | 28 | 37 | | 10 | | | |
| | 6 | | | 4 | | | | |
| 18 | | 4 | 38 | | 4 | | | |
| | 2 | | | 0 | | | | |
| 19 | | 4 | 39 | | 4 | | | |
| | 6 | | | 4 | | | | |
| 20 | | 22 | 40 | | 40 | | | |
| | 1 | | | 3 | | | | |

Формализация задачи нахождения теста

Пусть задана комбинационная схема R , состоящая из логических КМОП-элементов и имеющая n входов x_1, x_2, \dots, x_n . Булево пространство V^x над переменными вектора $\underline{x} = (x_1, x_2, \dots, x_n)$ содержит 2^n двоичных наборов. Каждому дво-

ичному набору $\underline{x}_i^* \in V^x$ поставим в соответствие число i , равное десятичному эквиваленту этого набора. Если при моделировании схемы R входной набор i сменяется входным набором j , то упорядоченной паре $\langle i, j \rangle$ соответствует число S_{ij} переключений транзисторов (вес). Сформулируем формальную постановку задачи нахождения теста T , обеспечивающего максимальное суммарное число переключений транзисторов.

Пусть задано множество V чисел: $V = \{0, 1, 2, \dots, 2^n - 1\}$. Рассмотрим множество L всех $2^n(2^n - 1)$ упорядоченных пар $\langle i, j \rangle$, составленных из элементов множества V . Каждой паре $\langle i, j \rangle$ соответствует неотрицательное целое число S_{ij} – вес пары $\langle i, j \rangle$. Каждой упорядоченной последовательности P

$$P = \langle i_1, i_2, i_3, i_4, \dots, i_{k-2}, i_{k-1}, i_k \rangle \quad (1)$$

элементов (не обязательно различных) множества V соответствует множество

$$\langle i_1, i_2 \rangle, \langle i_2, i_3 \rangle, \langle i_3, i_4 \rangle, \dots, \langle i_{k-2}, i_{k-1} \rangle, \langle i_{k-1}, i_k \rangle \quad (2)$$

упорядоченных пар, составленных из соседних элементов последовательности (1). *Правильной k -последовательностью* назовем такую упорядоченную последовательность (1), что все упорядоченные пары вида (2) *различны*.

Задача нахождения теста T имеет следующую формальную постановку.

Задача. Для заданного числа k требуется составить из элементов множества L правильную k -последовательность P с максимальной суммой весов

$$S = \sum_{q=2}^{k-1} (S_{i_{q-1}, i_q} + S_{i_q, i_{q+1}}). \quad (3)$$

Если каждому элементу множества L поставить в соответствие вершину полного ориентированного графа G , то задача может быть переформулирована в графовой постановке: в полном ориентированном графе G , дуги которого взвешены неотрицательными целыми числами, требуется найти простую цепь M , состоящую из k дуг и имеющую максимальную сумму S весов входящих в нее (т.е. в цепь) дуг.

Данная задача и алгоритмы ее решения хорошо известны в теории графов [5].

Модификации этой задачи появляются тогда, когда в качестве весов дуг могут быть как неотрицательные, так отрицательные числа. Другой особенностью может быть условие $S_{i,j} = S_{j,i}$ для весов дуг, пример такого графа дан на рис. 3. Граф G (см. рис. 3) получен при моделировании элемента, реализующего логическую операцию «сумма по модулю 2». Одно из решений задачи для $k = 3$ выделено на графе G штриховыми дугами.

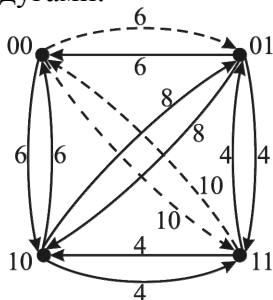


Рис. 3. Граф G

Алгоритм нахождения теста

Поскольку в практических ситуациях число 2^n вершин графа G может быть огромным, то о точном решении задачи не может быть и речи, поэтому предлагается эвристический алгоритм решения задачи нахождения теста T , ориентированный на практическую размерность, когда $n \leq 15$. Элементы булева пространства будем представлять числами – десятичными эквивалентами, а алгоритм иллюстрировать на примере последовательности наборов, заданных в табл. 1. Пусть для данного примера $k = 16$, тогда число искомых пар входных наборов равно 15. Алгоритм состоит из следующих шагов.

Шаг 1. Расположение без повторений всех пар множества L в линейном порядке [6], соответствующую последовательность расположения пар множества L обозначим через Z .

В рассматриваемом примере логической схемы (см. рис. 1) исходным является булево пространство от трех переменных, а десятичные представления двоичных наборов образуют множество $\{0, 1, 2, 3, 4, 5, 6, 7\}$. Расположить без повторений все пары, т.е. получить упорядоченную последовательность Z комбинаций вход-

ных сигналов можно согласно «правилу треугольника»:

```

7, 5, 7, 4, 7, 3, 7, 2, 7, 1, 7, 0, 7
6, 4, 6, 3, 6, 2, 6, 1, 6, 0, 6,
5, 3, 5, 2, 5, 1, 5, 0, 5,
4, 2, 4, 1, 4, 0, 4,
3, 1, 3, 0, 3,
2, 0, 2,
1
0, 1, 2, 3, 4, 5, 6, 7

```

Расположив строки «треугольника» в линейном порядке, получим последовательность Z , которая для рассматриваемого примера задана в столбце «Входные наборы» табл. 1. Аналогичным образом, т.е. без повторений пар, можно перечислить все пары элементов булева пространства и большей, чем три, размерности.

Шаг 2. Нахождение пар с максимальным весом.

Находим в Z последовательно одну за другой пары $\langle i_q, j_q \rangle$ с максимальным весом S_{i_q, j_q} . Если в последовательности Z очередная пара $S_{i_{q+1}, j_{q+1}}$ располагается рядом с одной уже из найденных пар, то ищется дополнительно еще одна пара.

В примере максимальный вес 62 имеет пара $\langle 7, 2 \rangle = \langle i_1, j_1 \rangle$ с номером 7. Затем находится пара $\langle i_2, j_2 \rangle = \langle 7, 0 \rangle$ с номером 11, имеющая тот же вес 62, и пары $\langle i_3, j_3 \rangle = \langle 7, 4 \rangle$ (номер 3), $\langle i_4, j_4 \rangle = \langle 7, 6 \rangle$ (номер 13), имеющие вес 58. Следующей будет пара $\langle i_5, j_5 \rangle = \langle 7, 1 \rangle$ с номером 9 и весом 56. Среди оставшихся пар максимальный вес 50 имеет пара $\langle i_6, j_6 \rangle = \langle 4, 7 \rangle$ с номером 4. Так как эта пара – соседняя ($j_6 = i_3$) с уже найденной парой $\langle i_3, j_3 \rangle = \langle 7, 4 \rangle$, то для того, чтобы искомая последовательность содержала 15 пар, требуется найти еще одну пару и т.д.

Последовательно находя пары с максимальным весом, построим цепочки c_1, c_2, c_3, c_4 пар, содержащие 16 элементов: цепочке 1 соответствует последовательность $\langle 7, 4, 7 \rangle$ из трех эле-

ментов; цепочке 2 – последовательность $\langle 7, 2, 7, 1, 7, 0, 7, 6 \rangle$ из восьми элементов; цепочке 3 – последовательность $\langle 5, 2, 5 \rangle$ из трех элементов; цепочке 4 – последовательность $\langle 3, 4 \rangle$ из двух элементов. В данном примере только одна цепочка 4 выродилась до пары. Однако может случиться и так, что каждая из цепочек может состоять из одной пары.

Шаг 3. Соединение найденных цепочек в одну последовательность.

Для этого строится граф H (рис. 4), отражающий варианты соединения (конкатенации) цепочек. Легко видеть, что при соединении цепочек может потребоваться «добирать» пары, так как последний элемент цепочки, к которой будет добавляться следующая, может совпадать с первым элементом подсоединяемой цепочки, поэтому в последовательности Z потребуется искать еще пары с максимальным весом, которые нужно будет включить в искомую последовательность.

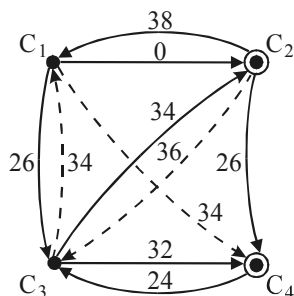


Рис. 4. Граф H

Вернемся к примеру. Построим граф H , каждой из вершин которого соответствует найденная цепочка, а ориентированная дуга $\langle c_i, c_j \rangle$ взвешена весом S пары, образованной последним элементом цепочки c_i и первым элементом цепочки c_j . Например, дуга $c_2 \rightarrow c_3$, исходящая из вершины c_2 и заходящая в вершину c_3 , имеет вес 36, так как этой дуге графа H соответствует пара $\langle 6, 5 \rangle$ с номером 24. Некоторые дуги имеют вес ноль, например, такой дугой является дуга $c_1 \rightarrow c_2$. Этой дуге соответствует пара $\langle 7, 7 \rangle$ – последним элементом цепочки c_1 есть элемент 7, а первым элементом цепочки c_2 есть также элемент 7. Граф H не является полным, некоторые дуги могут отсутствовать, например, между вершинами c_4, c_2 дуга $c_4 \rightarrow c_2$ от-

сутствует – этой дуге соответствует пара $\langle 4, 7 \rangle$, которая включена в цепочку c_1 . Для рассматриваемого примера и найденных цепочек c_1, c_2, c_3, c_4 граф H изображен на рис. 4.

Задача нахождения последовательности соединения цепочек на шаге 4 алгоритма сводится к нахождению последовательности обхода всех вершин графа H , причем сумма весов проходимых дуг должна быть максимальна, т.е. на этапе 4 требуется решить задачу нахождения в ориентированном графе H гамильтонова цикла с максимальным суммарным весом дуг. Это также известная задача в теории графов [5].

Рассмотрим маршрут $\langle c_1, c_2, c_3, c_4 \rangle$, приводящий к следующей конкатенации $\langle 7, 4, 7 \rangle$, $\langle 7, 2, 7, 1, 7, 0, 7, 6 \rangle$, $\langle 5, 2, 5 \rangle$, $\langle 3, 4 \rangle$ цепочек и сумме S весов

$$S = 58 + 50 + 0 + 62 + 42 + 56 + 48 + 62 + 54 + 58 + 36 + 40 + 40 + 32 + 40 = 678.$$

Последний элемент 7 цепочки $\langle 7, 4, 7 \rangle$ совпадает с первым элементом 7 цепочки $\langle 7, 2, 7, 1, 7, 0, 7, 6 \rangle$, поэтому в последовательности $\langle 7, 4, 7, 2, 7, 1, 7, 0, 7, 6, 5, 2, 5, 3, 4 \rangle$ имеется только 15 элементов. Следовательно, требуется добавить одну пару, например, ту, которая имеет максимальный вес и первый элемент которой равен четверем. Такой есть пара $\langle 4, 5 \rangle$ (номер 54) с весом 24. Для последовательности $\langle 7, 4, 7, 2, 7, 1, 7, 0, 7, 6, 5, 2, 5, 3, 4, 5 \rangle$ вес

$$S = 58 + 50 + 62 + 42 + 56 + 48 + 62 + 54 + 58 + 36 + 40 + 40 + 32 + 40 + 24 = 702.$$

Рассмотрим маршрут $\langle c_1, c_2, c_3, c_4 \rangle$ обхода всех вершин: этому маршруту соответствует конкатенация цепочек $\langle 7, 2, 7, 1, 7, 0, 7, 6 \rangle$, $\langle 5, 2, 5 \rangle$, $\langle 7, 4, 7 \rangle$, $\langle 3, 4 \rangle$, и последовательность $\langle 7, 2, 7, 1, 7, 0, 7, 6, 5, 2, 5, 7, 4, 7, 3, 4 \rangle$, а этой последовательности соответствует сумма

$$S = 62 + 42 + 56 + 48 + 62 + 54 + 58 + 36 + 40 + 40 + 34 + 58 + 50 + 34 + 40 = 714$$

весов, вычисляемая по формуле (3). Для данного маршрута добавлять пары не понадобилось, так как дуга с нулевым весом в графе H не была пройдена.

Последний маршрут имеет больший вес и является лучшим. На шаге 4 после соединения цепочек, если это необходимо, последовательно до-

бавляются пары согласно «жадной» эвристики – каждая из добавляемых пар должна обеспечить максимальный вклад в суммарный вес.

Результаты схемотехнического моделирования

Чтобы проверить результаты логического моделирования и предложенный алгоритм формирования теста, было составлено схемотехническое (*Spice*-описание) логической схемы (см. рис. 1) и проведено моделирование на той же последовательности из 57 наборов входных сигналов, для которой проводилось логическое *VHDL*-моделирование. Результат схемотехнического моделирования схемы *circ* в системе *Accusim* (разработка фирмы *Mentor Graphics*) на той же последовательности 57 входных наборов представлен на рис. 5, среднее значение потребляемого тока равно $-0,092902$ ма (микроампер). Пары наборов, вошедшие в цепочки c_1, c_2, c_3, c_4 , помечены на рис. 5 символом «*».

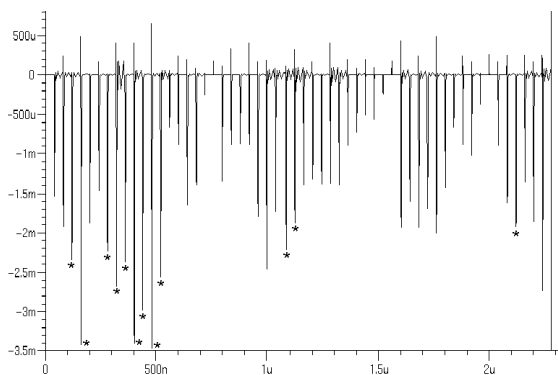


Рис. 5. Результат аналогового моделирования на наборах последовательности *Z*

Если же провести схемотехническое моделирование на 16 наборах найденного теста *T* (рис. 6), то среднее значение потребляемого тока равно $-0,150054$ ма, т.е. значительно выше. Таким образом, тест *T*, найденный на основе предложенного алгоритма, позволяет с достаточной для практики точностью находить режим максимального энергопотребления, что подтверждается результатами схемотехнического моделирования.

Если внимательно проанализировать рис. 5, то можно заметить, что в некоторых тактах срабатывания схемы график функции потребляемого тока заходит в область положительных зна-

чений, при формализации задачи это будет выражено отрицательными значениями весов $S_{i,l}$, если в качестве таковых взять не числа переключений транзисторов, а значения тока, полученные при схемотехническом моделировании.

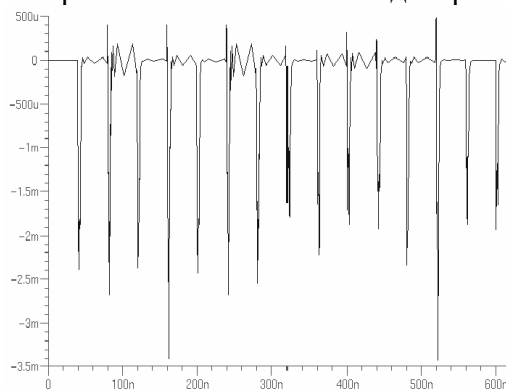


Рис. 6. Результат аналогового моделирования на наборах теста *T*

Заключение. Предложенный алгоритм на основе подсчета числа переключений транзисторов позволяет быстро находить режим максимального энергопотребления комбинационной логической схемы, состоящей из КМОП-элементов. Данный способ пригоден для задач практической размерности и может быть использован для оценки вариантов схемной реализации структур СБИС на этапе синтеза проекта СБИС.

1. *Estimation of Average Switching Activity in Combinational and Sequential Circuits* / A. Ghosh, S. Devadas, K. Keutzer et al. // Proc. 29th ACM/IEEE Design Automation Conf. – 1992. – P. 253–259.
2. Рабаи Ж.М., Чандракасан А., Николич Б. Цифровые интегральные схемы. – М.: ООО «И.Д. Вильямс», 2007. – 912 с.
3. Суворова Е.А., Шейнин Ю.Е. Проектирование цифровых систем на *VHDL*. – СПб.: БХВ–Петербург, 2003. – 576 с.
4. Сергиенко А.М. *VHDL* для проектирования вычислительных устройств. – К.: ЧП «Корнейчук», ООО «ТИД «ДС»», 2003. – 208 с.
5. Харари Ф. Теория графов. – М.: Мир, 1973. – 300 с.
6. Закревский А.Д. Минимизация перебора ориентированных пар. Танаевские чтения // Докл. Четвертой Междунар. науч. конф. (29 марта 2010 года, Минск). – Минск: ОИПИ НАН Беларуси, 2010. – С. 89–97.

Поступила 12.04.2010
E-mail: bibilo@newman.bas-net.by
© П.Н. Бибило, 2010